



## Synthesis, characterization, thermal properties and reactivity ratios of methacrylate copolymers including methoxy group

Nevin Çankaya<sup>1\*</sup>, Gözde Besci<sup>2</sup>

<sup>1</sup>Usak University, Faculty of Arts and Sciences, Department of Chemistry, Uşak, 64200, Turkey

<sup>2</sup>Uşak Üçyıldız Textile and Dye San. Tic. Ltd. Organized Industrial Zone, Uşak, 64000, Turkey

### Highlights:

- Synthesis and characterization of monomers and polymers
- Thermal behaviors of originally synthesized polymers
- Investigation of reactivity properties of copolymers synthesized with low conversion

### Keywords:

- 2-(4-methoxyphenylamino)-2-oxoethyl methacrylate
- characterization
- thermal properties
- monomer reactivity ratios

### Article Info:

Received: 13.02.2017

Accepted: 20.06.2017

### DOI:

10.17341/gazimmd.416417

### Acknowledgement:

We would like to thank the Research Foundation of Usak University (BAP) for financial support of this work. Project No: 2014/TP06.

### Correspondence:

Author: Nevin Çankaya  
e-mail:  
nevin.cankaya@usak.edu.tr  
phone: +90 276 221 2134  
/2533

### Graphical/Tabular Abstract

In this study, the monomer 2-(4-methoxyphenylamino)-2-oxoethyl methacrylate (MPAEMA) was synthesized from sodium methacrylate and 2-chloro-N-(4-methoxyphenyl) acetamide. The structure of monomer FT-IR, <sup>1</sup>H-NMR and <sup>13</sup>C-NMR was characterized by using spectroscopic techniques. The homopolymer and copolymers of MPAEMA with methyl methacrylate (MMA) were prepared by free radical polymerization method. The poly (MPAEMA) homopolymer and poly (MPAEMA-co-MMA) were characterized by FT-IR, <sup>1</sup>H-NMR and <sup>13</sup>C-NMR spectroscopic techniques, gel permeation chromatography-GPC and TGA/DTA thermal analysis methods. The copolymers of MPAEMA monomer with MMA at different ratios were synthesized by 15% conversion in the same way and series were formed. Low-conversion copolymer compositions were determined by Elemental Analysis results and characterized by FT-IR and TGA thermal analysis. The monomer reactivity ratios for copolymer systems were calculated using the linear methods Fineman Ross, Kelen Tüdös and the nonlinear method RREVM, and all results were discussed.

**Table A.** The monomer reactivity ratios for MPAEMA-co-MMA copolymer system

Method	r <sub>MPAEMA</sub>	r <sub>MMA</sub>	r <sub>1,r2</sub>
KT	0,521	1,183	0,616
FR	0,515	1,193	0,614
RREVM	0,510	1,188	0,606

r<sub>1</sub>: r<sub>MPAEMA</sub> ve r<sub>2</sub>: r<sub>MMA</sub>

**Purpose:** The aim of the research is to synthesize and characterize a new monomer and copolymer, and to investigate its thermal properties. Also, the reactivity of the monomers in the copolymer synthesized in this work was also investigated.

### Theory and Methods:

Synthesis and characterization of monomer, homopolymer and copolymer were carried out. The heat behavior of the polymers was investigated. The monomer reactivity ratios of the copolymers synthesized at low conversion were calculated by Elemental Analysis.

### Results:

Polydispersity of the homopolymer was found to be close to the individual. When TGA analyzes were performed to determine the thermal properties of the polymers, it was found that the thermal stability of the polymers increased with the addition of another acrylate derivative. The linear methods Kelen Tüdös and Fineman Ross and the nonlinear method were found to be  $r_1.r_2 \approx 0,61$  by the RREVM method.

### Conclusion:

The monomers were successfully synthesized. As the amount of methyl methacrylate in the copolymers increases, the thermal stability of the copolymer also increases. It was observed that the synthesized copolymers exhibited the ideal copolymer behavior.



## Metoksi grubu içeren metakrilat polimerlerin sentez, karakterizasyon, termal özellik ve reaktivite oranlarının incelenmesi

Nevin Çankaya<sup>1\*</sup>, Gözde Besci<sup>2</sup>

<sup>1</sup>Uşak Üniversitesi, Fen Edebiyat Fakültesi, Kimya Bölümü, Uşak, 64200, Türkiye

<sup>2</sup>Uşak Üçyıldız Tekstil ve Boya San. Tic. Ltd. Şti. Organize Sanayi Bölgesi, Uşak, 64000, Türkiye

### Ö N E C I K A N L A R

- Monomer ve polimerlerinin sentezi ve karakterizasyonu
- Yeni sentezlenen polimerlerin ıslaslı davranışları
- Düşük dönüşümle sentezlenen kopolimerlerin reaktiflik özelliklerinin araştırılması

#### Makale Bilgileri

Geliş: 13.02.2017

Kabul: 20.06.2017

#### DOI:

10.17341/gazimmd.416417

#### Anahtar Kelimeler:

2-(4-metoksifenilamino)-  
2-oksoetil metakrilat,  
karakterizasyon,  
termal özellikler,  
monomer reaktivite oranı

#### ÖZET

Bu çalışmada, 2-(4-metoksifenilamino)-2-oksoetil metakrilat (MPAEMA) monomeri, 2-klor-N-(4-metoksifenil) asetamit ile sodyum metakrilattan sentezlendi. Monomerin yapısı FT-IR, <sup>1</sup>H-NMR ve <sup>13</sup>C-NMR spektroskopik teknikleri ile karakterize edildi. MPAEMA monomerinin homopolimeri ve metil metakrilat (MMA) ile kopolimerleri serbest radikal polimerizasyon yöntemiyle hazırlandı. Poli(MPAEMA) homopolimeri ve Poli(MPAEMA-ko-MMA) kopolimeri; FT-IR, <sup>1</sup>H-NMR ve <sup>13</sup>C-NMR spektroskopik teknikleri, TGA/DTA termal analiz yöntemleriyle ve homopolimer GPC ile karakterize edildi. MPAEMA monomerinin MMA ile değişik oranlardaki kopolimerleri aynı yöntemle %15 dönüşümle sentezlenerek serileri oluşturuldu. Düşük dönüşümlü kopolymer bileşimleri Elemental Analiz sonuçlarına göre belirlendi ve karakterizasyonu FT-IR ve TGA termal analiz ile yapıldı. Kopolymer sistemleri için monomer reaktivite oranları Fineman Ross, Kelen Tüdös lineer metodları ve lineer olmayan RREVM bilgisayar metodıyla hesaplandı ve tüm sonuçlar tartışıldı.

## Synthesis, characterization, thermal properties and reactivity ratios of methacrylate copolymers including methoxy group

### H I G H L I G H T S

- Synthesis and characterization of monomers and polymers
- Thermal behaviors of originally synthesized polymers
- Investigation of reactivity properties of copolymers synthesized with low conversion

#### Article Info

Received: 13.02.2017

Accepted: 20.06.2017

#### DOI:

10.17341/gazimmd.416417

#### Keywords:

2-(4-methoxyphenylamino)-  
2-oxoethyl methacrylate,  
characterization,  
thermal properties,  
monomer reactivity ratios

#### ABSTRACT

In this study, the monomer 2-(4-methoxyphenylamino)-2-oxoethyl methacrylate (MPAEMA) was synthesized from sodium methacrylate and 2-chloro-N-(4-methoxyphenyl) acetamide. The structure of monomer FT-IR, <sup>1</sup>H-NMR and <sup>13</sup>C-NMR was characterized by using spectroscopic techniques. The homopolymer and copolymers of MPAEMA with methyl methacrylate (MMA) were prepared by free radical polymerization method. The poly (MPAEMA) homopolymer and poly (MPAEMA-co-MMA) were characterized by FT-IR, <sup>1</sup>H-NMR and <sup>13</sup>C-NMR spectroscopic techniques, gel permeation chromatography-GPC and TGA/DTA thermal analysis methods. The copolymers of MPAEMA monomer with MMA at different ratios were synthesized by 15% conversion in the same way and series were formed. Low-conversion copolymer compositions were determined by Elemental Analysis results and characterized by FT-IR and TGA thermal analysis. The monomer reactivity ratios for copolymer systems were calculated using the linear methods Fineman Ross, Kelen Tüdös and the nonlinear method RREVM, and all results were discussed.

## 1. GİRİŞ (INTRODUCTION)

Günümüzde polimerlerin kullanım sahası giderek genişlemekte ve bunun doğal sonucu olarak da önemleri artmaktadır. Özellikle endüstriyel olarak pek çok kullanım alanı bulunan polimerlerin geliştirilmesi ve farklı özelliklerinin ortaya çıkarılması yönünde büyük ilerlemeler kaydedilmiştir [1]. Polimerler ve türevlerinin çok fazla kullanım sahasına sahip olmalarının nedeni, düşük yoğunluğa, düşük ısı ve elektriksel iletkenliğe, yüksek mekanik dayanım ve esnekliğe sahip olmaları ve diğer malzemelere göre az maliyetle kullanılabilirlerdir. Bu kadar olumlu özelliklerinin yanında, polimerlerin ısı ve işına karşı duyarlılığı, safsızlıklardan arındırma zorluğu gibi dezavantajları da vardır. Bu olumsuzlukları gidermek amacıyla, polimerlerin yapısına çapraz bağ ve halkalı yapıların sokulması ve yapıya reaktif grupların takılması çalışmalara gidilmiştir [2, 3].

Fonksiyonel polimerlerle ilgili yapılan çalışmalar monomere bağlı sübstüentin yapısının ve bu yapıya bağlı olarak konumunun, monomerin ve polimerin birçok özelliğini değiştirdiğini göstermiştir [4]. Polimerlerin fonksiyonelitesini artırmak amacıyla en sık kullanılan türlerden biri, akrilat ve metakrilat türevleridir. Metakrilat grubu monomerlerin en önemli özelliklerinden biri optik geçirgenlikte sahip olmalarıdır. Yüksek ışık geçirgenliği, iyi mekanik ve termal dayanıklılıklarından dolayı oldukça geniş kullanım sahasına sahiptirler [5]. Akrilat ve metakrilat içerikli monomer ve polimerlerin uygulama sahası çok geniş ve gün geçtikçe de bu çalışma alanı artmaktadır. Dolayısıyla bilim adamlarının çalışmaları hızla bu alana doğru kaymıştır [6, 7]. Fiziksel özelliklere karşı dayanıklılığın dışında; biyolojik aktif madde olarak kullanımı, tıp, ortopedi, diş ve dolgusu, ilaç dağıtım sistemleri, biyokimyasal sensörler, yumuşak doku çalışmaları gibi birçok alanda çalışma sahası bulmuştur [8, 9]. Ayrıca, kopolimer reaksiyonları, sistematik değişikliklerin yapılmasında kullanılan en önemli tekniklerden biridir.

Polimerlerin dezavantajlarını gidermek amacıyla kullanılan yöntemlerden biri de iki monomer türünün bir arada bulunduğu kopolimer sentezidir. Kopolimerin kimyasal yapısı yalnızca monomer ünitelerine bağlı değildir, aynı zamanda makromoleküller zincir boyunca monomer türünün zincirlere nasıl dağıldığına da bağlıdır. Bu da o monomerin polimer içinde ne kadar reaktif davranışıyla ilgilidir [10] bu da kopolimerizasyon kinetiğinin çalışma önemini artırmıştır. Reaktivite oranları, kopolimerlerin kompozisyon denklemi için en önemli parametrelerdir ve monomer çiftlerinin reaktivitesi hakkında bilgi verir [10, 11]. Reaktivite oranlarının hesaplanmasında kullanılan lineer ve lineer olmayan birçok yöntem vardır. Lineer yöntemlerden en sık kullanılanları, Fineman ve Ross [12-14] ve Kelen ve Tüdos [15-17] tarafından geliştirilen düşük dönüşümlerde başarılı hesaplama sonuçları veren yöntemlerdir. Hesaplamalar diferansiyel kopolimerizasyon denklemine

dayanmaktadır [18-20]. Adı anılan yöntemlere ek olarak son zamanlarda, bilgisayar programı kullanarak doğrusal olmayan bir değişken hata modeli (EVM) yöntemi de hesaplamalarda kullanılmaktadır. Bu çalışmada 2-klor-N-(4-metoksifenil)asetamit, sodyum metakrilat ile reaksiyona sokularak, metoksi grubu içeren metakrilat türü 2-(4-metoksifenilamino) 2-oksoetilmetakrilat (MPAEMA) monomeri sentezlenmiş, sentezlenen monomerin orijinal polimerleri homopolimeri ve yine ticari bir monomer olan metil metakrilat ile kopolimeri hazırlanmıştır. Monomer ve polimerlerin yapısı spektroskopik yöntemlerle karakterize edilmiş, ayrıca termal özellikleri incelenmiştir. Monomerlerin reaktivite oranları, düşük dönüşümde Fineman Ross, Kelen Tüdos ve RREVM (Reaktivite Oranlarında Değişkenlerdeki Hata Metodu) [21-23] metodları kullanılarak hesaplanmıştır.

## 2. DENEYSEL METOT (EXPERIMENTAL METHOD)

### 2.1. Malzemeler (Materials)

Metil metakrilat (MMA-Sigma-Aldrich) ticari monomeri, polimerleşmeyi önlemek amacıyla konulan hidrokinonundan uzaklaştırmak amacıyla seyreltik NaOH-baz çözeltisi ile yıkandı. Geleneksel radikalik başlatıcılarından biri olan benzoilperoksit, kloroformda çözülüp metanolde çözürtürek yeniden kristallendirildi. Polimerizasyon için inert gaz olarak argon gazı; çözücü olarak 1,4-Dioksan ve aseton; çözütücü olarak etanol ve saf su kullanıldı. Monomer sentezinde polimerleşmeyi önlemek amacıyla durdurucu olarak hidrokinon, faz transfer maddesi olarak Tebax- NaI, p-metoksianilin, triethyl amine ( $\text{NR}_3$ ), klorasetil klorür, sodyum metakrilat, kullanıldı ve Sigma-Aldrich firmasından satın alındı. Gerekli olan diğer kimyasallar, saflaştırma işlemine tabi tutulmadan olduğu gibi kullanıldı.

### 2.2. Karakterizasyon Teknikleri (Characterization Techniques)

$^1\text{H}$  ve  $^{13}\text{C}$  NMR (Nükleer Manyetik Rezonans) spektrumları için; DMSO-d6 (dötryumlanmış dimetil sülfovosit) çözücüsüyle oda sıcaklığında TMS'nin iç standart olarak kullanıldığı Bruker 400 MHz Spektrometre, FT-IR (Fourier Dönüşümlü Infrared) spektrumları için; Perkin Elmer Spectrum Two (UATR) IR Spektrometresi, Termal analizler için; Hitachi 7000 TGA/DTA (Termogravimetrik Analiz/Diferansiyel Termal Analiz) simultane sistem, Polimerlerin ortalama molekül ağırlığının tayini için Jel Geçirgenlik Kromatografisi (GPC) cihazı; Agilent 1100 series-Gel Permeation Chromatography; Elementel Analiz için; LECO-932 CHNS-O spektrometre kullanıldı.

### 2.3. 2-(4-Metoksifenil amino)2-oksoetil metakrilat (MPAEMA) Monomerinin Sentezi (Synthesis of 2-(4-Methoxyphenylamino)2-oxoethyl methacrylate (MPAEMA) Monomer)

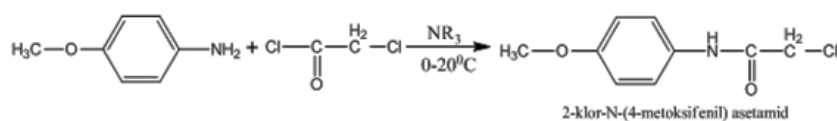
0,017 mol p-metoksianilin aseton içerisinde çözülerek 0,17 mol triethyl amine ilave edildi ve sıcaklık 0-5°C'ye getirilerek 500 rpm hızda karıştırıldı. Buz banyosu üzerindeki karışma

0,175 mol klorasetil klorür damla damla ilave edilerek, reaksiyon çeker ocak altında 24 saat devam ettirildi. Reaksiyon süresi sonunda elde edilen kahverengi kıvamlı çözelti, oluşan tuzdan uzaklaştırılmak amacıyla süzüldü. Buzlu su içinde çöktürüldü ve parlak eflatun renkli kristaller elde edildi. Sentezlenen 2-klor-N-(4-metoksifenil) asetamid'in reaksiyon şeması Şekil 1'de gösterilmektedir. Sentezlenen 2-klor-N-(4-metoksifenil) asetamid bileşigi, sodyum metakrilat ile faz transfer maddesi Tebax- NaI, polimerleşmesini önlemek amacıyla hidrokinon ilavesiyle çözücü olarak 1,4-dioksan kullanılarak geri soğutucu altında 150°C'de reaksiyona girmesi sağlandı. Reaksiyon süresi sonunda safsızlıklardan uzaklaştırılmak amacıyla madde süzüldü. Çözücüün fazlası vakumlu buharlaştırıcıya

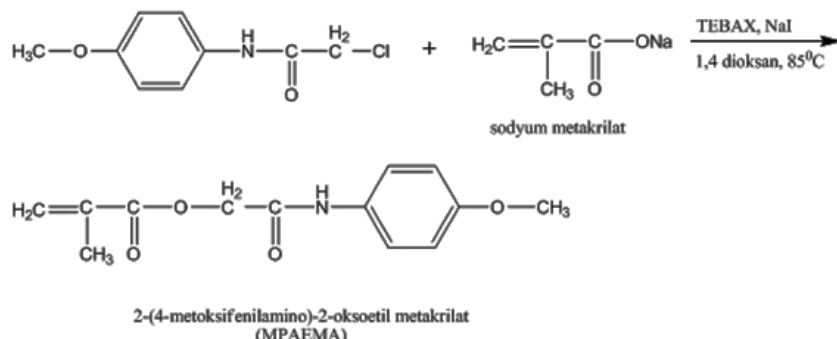
uzaklaştırıldı ve %5'lik NaOH baz çözeltisi ile 3 kere ykanarak, hidrokinondan uzaklaştırıldı [9, 17]. 2-(4-metoksifenilamino)-2-oksoethyl metakrilat (MPAEMA) monomerinin sentezi Şekil 2'de gösterilmektedir.

#### 2.4. MPAEMA'nın Homopolimerizasyonu (Homopolymerization of MPAEMA)

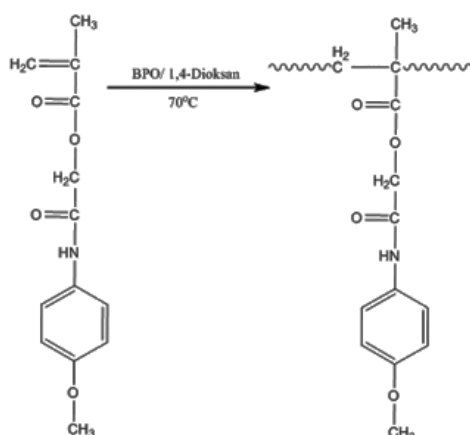
Monomer 1,4-dioksanda çözülerek, %1'lik benzoilperoksit (BPO) başlatıcısıyla argon gazından geçirilerek 70°C'de polimerleşmesi sağlandı. Oluşan homopolimer etil alkol ile safsızlıklardan uzaklaştırılmak amacıyla 3 kere kristallendirildi. Homopolimerin sentezi Şekil 3'de gösterilmiştir.



**Şekil 1.** 2-klor-N-(4-metoksifenil) asetamid'in sentezi (Synthesis of 2-chloro-N- (4-methoxyphenyl) acetamide)



**Şekil 2.** MPAEMA monomerinin sentezi (Synthesis of MPAEMA Monomer)



**Şekil 3.** MPAEMA monomerinin homopolimerizasyonu (Homopolymerization of MPAEMA Monomer)

## 2.5. MPAEMA'nın Metil metakrilatla Kopolimerizasyonu (Copolymerization of MPAEMA with Methyl methacrylate)

Sentezlenen MPAEMA ve ticari metil metakrilat (MMA) monomerlerinden molce yarı yarıya alınarak homopolimerizasyonda yapılan işlemlerin aynısı kopolimerizasyon sentezinde de gerçekleştirılmıştır. Poli(MPAEMA-ko-MMA) olarak kodlanan kopolimerinin reaksiyonu Şekil 4'de verilmiştir.

## 2.6. Poli(MPAEMA-ko-MMA) Kopolimerler Serilerinin Sentezi ve Monomer Reaktivite Oranlarının Hesaplanması (Synthesis of Poly(MPAEMA-co-MMA) Copolymers Series and Calculation of Monomer Reactivity Ratios)

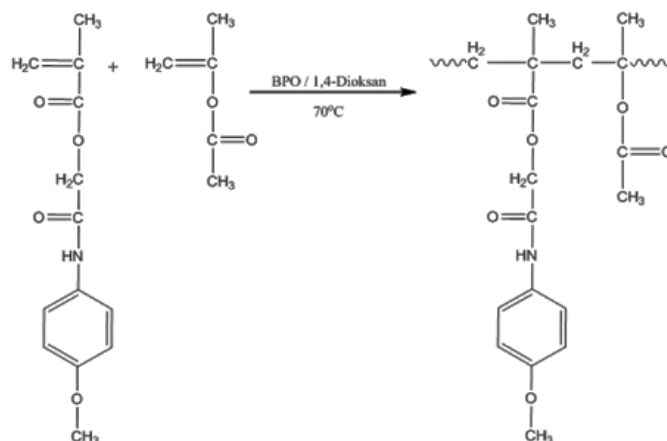
MPAEMA ve MMA monomerlerinden aşağıda belirtilen miktarlarda alınarak %15 düşük dönüşümle 3 saat bekletilerek 5 seri kopolimeri, diğer polimerizasyon sentezlerine benzer olarak hazırlanmıştır. Kopolimer serilerinde monomerlerinin başlangıç bileşimleri %(mol) MPAEMA: %(mol) MMA oranı sırasıyla; 15:85, 30:70,

50:50, 75:25, 85:15 olarak uygulanmıştır. Elementel Analiz sonuçlarına göre de kopolimer bileşimleri belirlenmiştir.

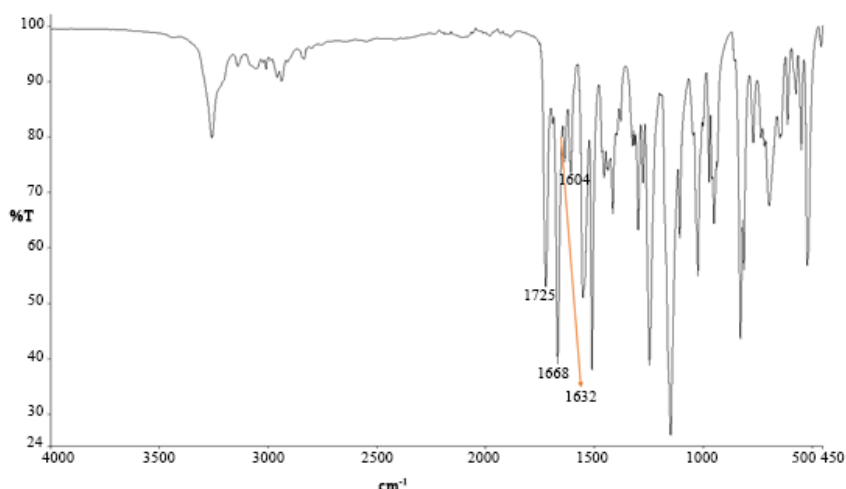
## 3. SONUÇLAR VE TARTIŞMALAR (RESULTS AND DISCUSSIONS)

### 3.1. MPAEMA Monomerinin Spektroskopik Karakterizasyonu (Characterization of MPAEMA Monomer)

MPAEMA monomerinin FT-IR spektrumunda C-C aromatik gerilmesinin 1604, C=C olefinik gerilmesinin 1632, C=O amit gerilmesinin 1668, C=O ester gerilmesinin 1725, C-H alifatik gerilmesinin 2900 ve N-H gerilmesinin 3300 cm<sup>-1</sup>'de pik verdiği görülmüştür. Şekil 5'de MPAEMA monomerinin FT-IR spektrumu verilmiştir. MPAEMA monomerinin <sup>1</sup>H-NMR spektrumunda; N-H yapısının 9,9 ppm'de, halka protonlarının 7,3 ve 6,7 ppm'de, =CH olefinik protonlarının 5,9, 5,6 ppm'de, O-CH<sub>2</sub> protonlarının 4,6 ppm'de, O-CH<sub>3</sub> protonunun 3,6 ppm'de, C-CH<sub>3</sub> protonunun 1,8 ppm'de pik verdiği görülmüştür. MPAEMA



Şekil 4. Poli(MPAEMA-ko-MMA) kopolimerinin sentezi (Synthesis of poly(MPAEMA-co-MMA) copolymer)



Şekil 5. MPAEMA monomerinin FT-IR spektrumu (The FT-IR spectrum of MPAEMA Monomer)

monomerinin  $^{13}\text{C}$ -NMR spektrumunda; monomer yapısındaki C=O amit karbonunun 166 ppm'de, C=O ester karbonunun 165 ppm'de, halka karbonlarının 155, 132, 121, 114 ppm'de,  $\text{CH}_3\text{-C=}$  yapısının 135 ppm'de, =CH olefinik karbonunun 127 ppm'de, O=C- $\text{CH}_2\text{-O}$  yapısının 63 ppm'de, O- $\text{CH}_3$  yapısının 55 ppm'de ve C- $\text{CH}_3$  yapısının ise 18 ppm'de pik verdiği görülmüştür. Şekil 6'da  $^1\text{H}$ -NMR ve Şekil 7'de  $^{13}\text{C}$ -NMR spektrumları verilmiştir.

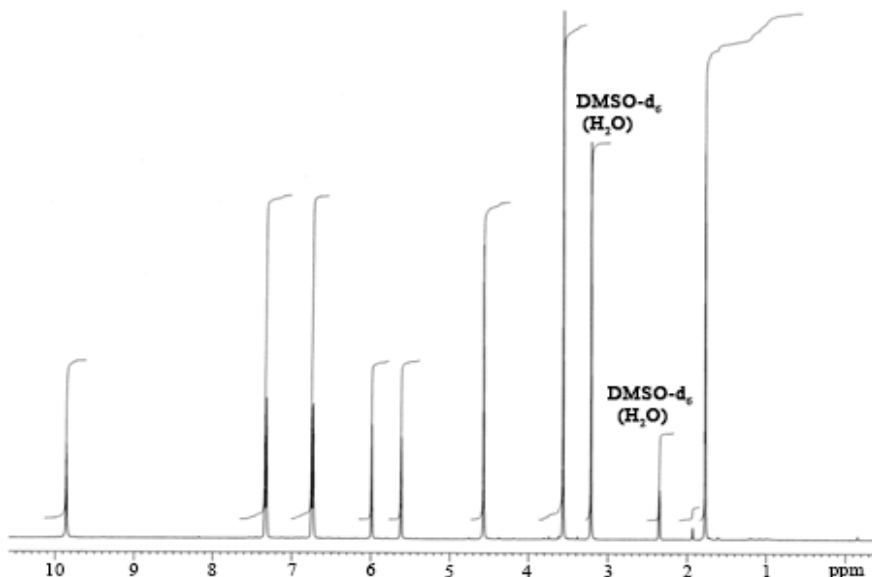
### 3.2. Poli(MPAEMA) Homopolimerinin Karakterizasyonu (Characterization of Poly (MPAEMA) Homopolymer)

Poli(MPAEMA) homopolimerinin karakterizasyonu, spektroskopik yöntemlerle yapılmış olup, ısıya karşı

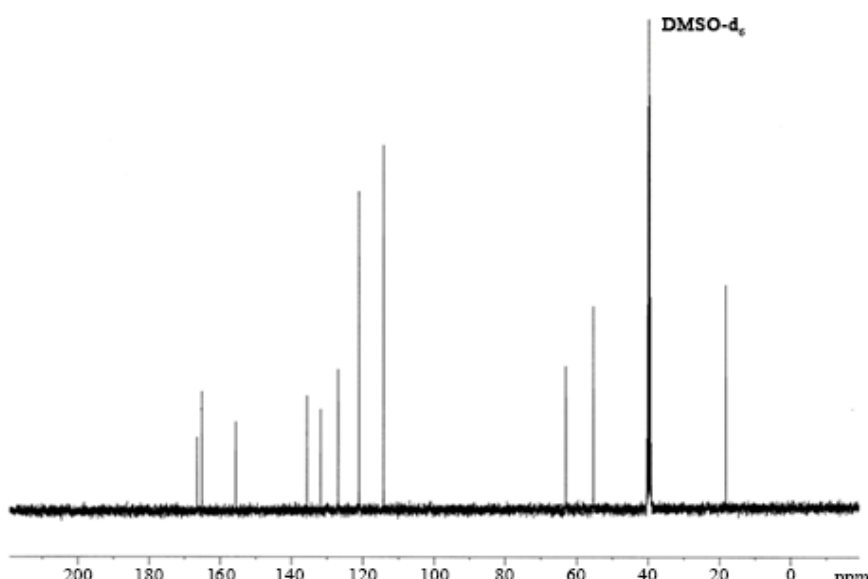
dayanımı TGA/DTA yöntemleriyle araştırılmıştır. Ayrıca, homopolimerin molekül ağırlıkları ve molekül ağırlık dağılımlarının tayini jel geçirgenlik kromatografisi (GPC) ile belirlenmiştir.

#### 3.2.1. Poli(MPAEMA) homopolimerinin spektroskopik karakterizasyonu (Spectroscopic characterization of poly (MPAEMA) homopolymer)

Poli(MPAEMA) homopolimerinin FT-IR spektrumunda C-O-C simetrik gerilmesinin 1250 ve C-O-C asimetrik gerilmesinin 1500, C=C aromatik gerilmesinin 1602, C=O amit gerilmesinin 1679, C=O ester gerilmesinin 1739, C-H alifatik gerilmesinin ise 2900, N-H gerilmesinin 3300, C=C



Şekil 6. MPAEMA monomerinin  $^1\text{H}$ -NMR spektrumu (The  $^1\text{H}$ -NMR spectrum of MPAEMA Monomer)



Şekil 7. MPAEMA monomerinin  $^{13}\text{C}$ -NMR spektrumu (The  $^{13}\text{C}$ -NMR spectrum of MPAEMA Monomer)

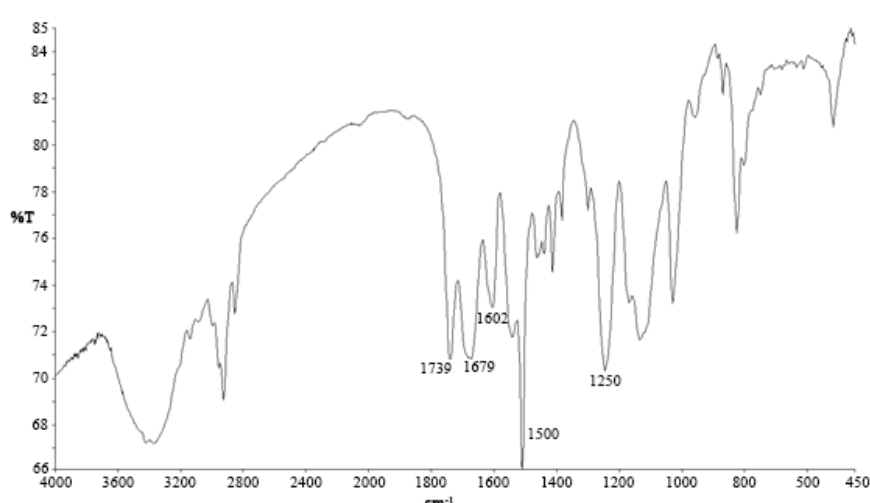
aromatik gerilmesinin 1602 ve C-H aromatik gerilmesinin ise 3400  $\text{cm}^{-1}$ de pik verdiği görülmüştür. Monomerden farklı olarak homopolimerde C=C 1632  $\text{cm}^{-1}$  olefinik gerilmesinin kaybolduğu gözlemlenmiştir. Monomer yapısındaki C=CH<sub>2</sub> bağı, polimer yapısında -C-CH<sub>2</sub>- bağına dönüşmüştür. Poli(MPAEMA) homopolimerinin FT-IR spektrumu Şekil 8'de verilmiştir.

Poli(MPAEMA) homopolimerinin <sup>1</sup>H-NMR spekturmunda N-H yapısının 9,9 ppm'de, halka protonlarının 7,4 ve 6,8 ppm'de, O-CH<sub>2</sub> protonlarının 4,6 ppm'de, O-CH<sub>3</sub> protonunun 3,6 ppm'de, C-CH<sub>3</sub> protonunun 1,1 ppm'de pik verdiği görülmüştür. Poli(MPAEMA) homopolimerinin <sup>13</sup>C-NMR spektrumu incelendiğinde; yapısındaki C=O amit karbonunun 177 ppm'de, C=O ester karbonunun 165 ppm'de, halka karbonlarının 155, 132, 121, 114 ppm'de,

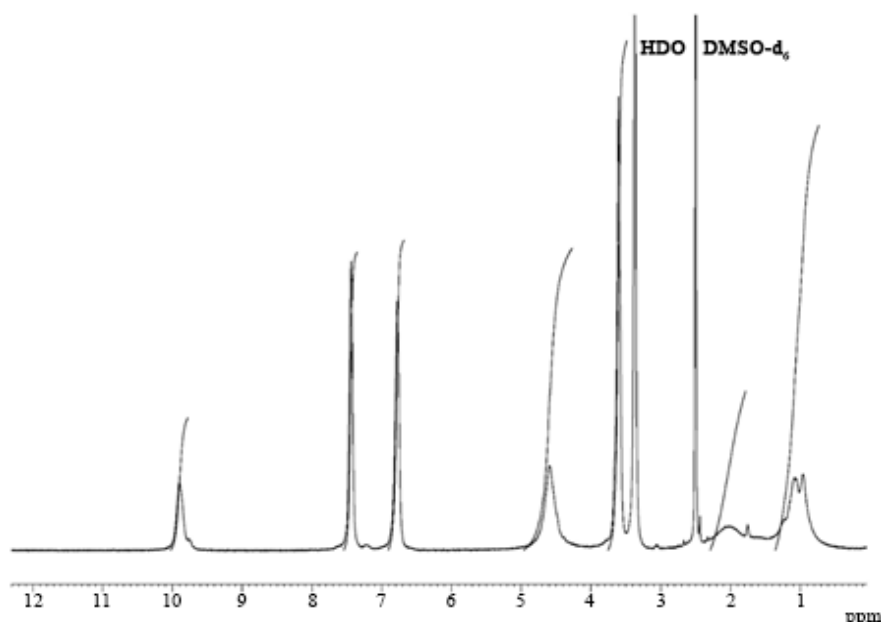
O=C-CH<sub>2</sub>-O yapısının 55 ppm'de, O-CH<sub>3</sub> yapısının 45 ppm'de ve C-CH<sub>3</sub> yapısının ise 25 ppm'de pik verdiği görülmüştür. Monomerden farklı olarak homopolimerin <sup>1</sup>H-NMR spekturmunda 5,5-6 ve <sup>13</sup>C-NMR spektrumunda 127-135 ppmlerde gözlenecek olan =CH<sub>2</sub> pikinin kaybolması, homopolimerin oluştuğunu göstermektedir. Poli(MPAEMA) homopolimerinin <sup>1</sup>H-NMR spektrumu Şekil 9'da ve <sup>13</sup>C-NMR spektrumu Şekil 10'da gösterilmiştir.

### 3.2.2. Poli(MPAEMA) homopolimerinin termal analiz sonuçları (Thermal analysis results of poly (MPAEMA) homopolymer)

Poli(MPAEMA) homopolimerinin TGA ölçümelerinde oda sıcaklığından 10°C/dak ısıtma hızıyla 600°C sıcaklığa kadar çıktılarak elde edilmiştir. TGA eğrisinden elde edilen verilere



**Şekil 8.** Poli(MPAEMA) Homopolimerinin FT-IR Spektrumu (The FT-IR Spectrum of Poly (MPAEMA) Homopolymer)



**Şekil 9.** Poli(MPAEMA) homopolimerinin <sup>1</sup>H-NMR spektrumu (The <sup>1</sup>H-NMR spectrum of the poly (MPAEMA) homopolymer)

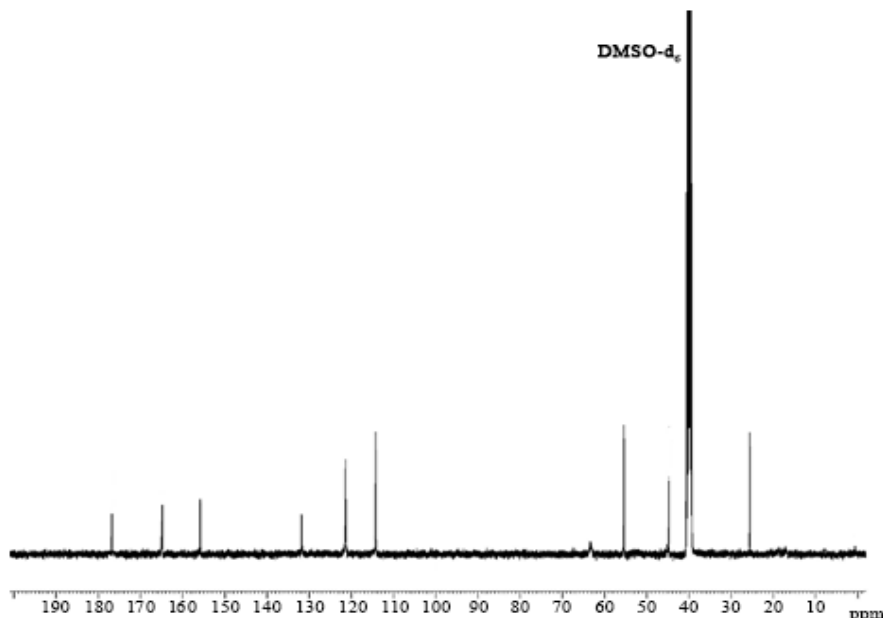
göre homopolimerin başlangıç bozunma sıcaklığı  $115^{\circ}\text{C}$ , %50 kütle kaybının olduğu sıcaklık  $383^{\circ}\text{C}$ ,  $500^{\circ}\text{C}$ 'de bırakıldığı atığın %17 ve  $600^{\circ}\text{C}$ 'de bırakıldığı atığın %0 olduğu gözlemlenmiştir. DTA eğrisinden ise  $T_g$  (Camsı geçiş sıcaklığı)'nın  $130^{\circ}\text{C}$  ve  $T_k$ (Kristallenme sıcaklığı)'nın  $540^{\circ}\text{C}$  olduğu görülmüştür [24]. Poli(MPAEMA) homopolimerinin TGA/DTA eğrileri Şekil 11'de gösterilmektedir.

### 3.2.3. Poli(MPAEMA) homopolimerinin GPC ölçümleri (GPC measurements of poly (MPAEMA) homopolymer)

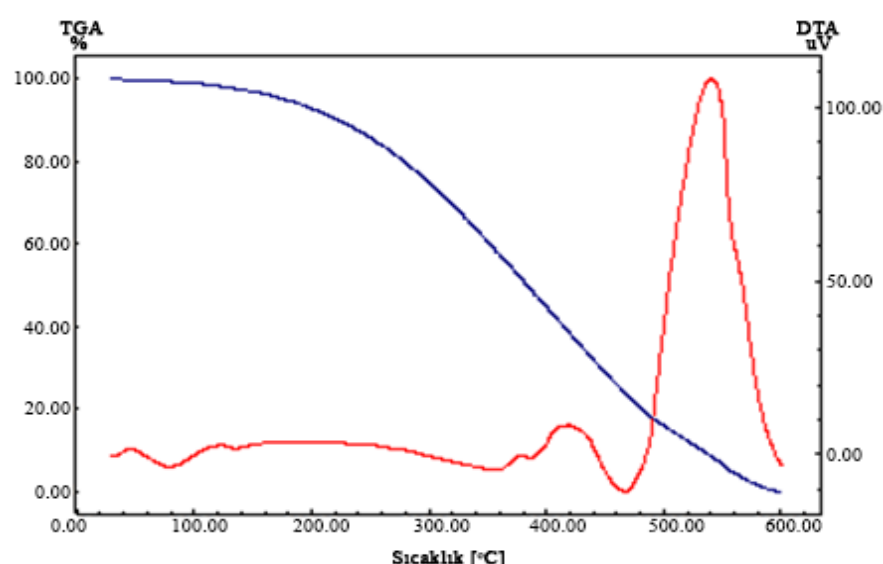
Homopolimerlerin ortalama molekül ağırlıkları ile molekül ağırlık dağılımlarının tayini jel geçirgenlik kromatografisi

(GPC) cihazı ile  $25^{\circ}\text{C}$ 'de, refraktif-indeks (RI) dedektör kullanılarak, 1ml/dk. çözücü akış hızında ölçüldü. Standart madde olarak polistiren, çözücü olarak da tetrahidrofuran kullanılarak, GPC eğrisinden alikonma hacmine (ml) karşı dedektör cevabı grafiğe geçirilmiştir.

Sayıca ortalama molekül ağırlığının ( $M_n$ )'nin 25009, ağırlıkça ortalama molekül ağırlığının ( $M_w$ )'nin 28453, viskozite ortalama molekül ağırlığının ( $M_v$ )'nin 28453, Z ortalama molekül ağırlığının ( $M_z$ )'nin 32287 olduğu ve bu değerlerin birbirine yakın olduğu görülmüştür. Polimerlerde heterojenlik indeksinin 1'e yakın olması, molekül ağırlık dağılımları birbirine yakın ve dar olan polimerler elde



**Şekil 10.** Poli(MPAEMA) homopolimerinin $^{13}\text{C}$ -NMR spektrumu (The  $^{13}\text{C}$ -NMR spectrum of the poly (MPAEMA) homopolymer)



**Şekil 11.** Poli(MPAEMA) homopolimerinin TGA/DTA eğrileri (TGA/DTA curves of poly (MPAEMA) homopolymer)

edilmesi anlamına gelmektedir. Heterojenlik indeksinin (polidispersite) ( $M_w/M_n$ ) 1'e yakın olduğu ve literatüre uygun olduğu sonucuna varılmıştır [15, 16]. Poli(MPAEMA) homopolimerinin jel geçirgenlik kromatografisi (GPC) eğrileri Şekil 12'de gösterilmektedir.

### 3.3. Poli(MPAEMA-ko-MMA) Kopolimerinin

#### Karakterizasyonu

(Characterization of Poly (MPAEMA-co-MMA) Copolymer)

Kopolimerinin karakterizasyonu, FT-IR ve NMR spektroskopik yöntemleriyle yapılmış olup, termal davranışını özelliklerini araştırmak amacıyla TGA cihazı kullanılmıştır.

#### 3.3.1. Poli(MPAEMA-ko-MMA) kopolimerinin spektroskopik karakterizasyonu (Spectroscopic characterization of poly (MPAEMA-co-MMA) copolymer)

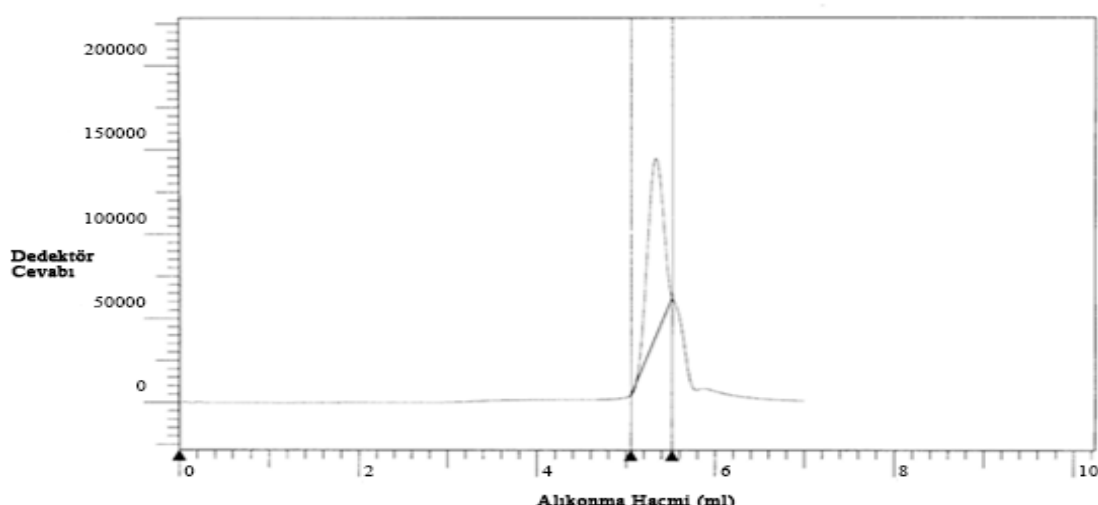
Poli(MPAEMA-ko-MMA) kopolimerinin FT-IR spektrumu incelendiğinde; C-O-C simetrik ve asimetrik gerilmesinin 1240 ve 1512, aromatik C=C ve C-H gerilmesinin 1605 ve 3365, C=O amit gerilmesinin 1668, C=O ester gerilmesinin 1730, C-H alifatik gerilmesinin 2800 ve N-H gerilmesinin 1730, C-H alifatik gerilmesinin 2800 ve N-H gerilmesinin

3200  $\text{cm}^{-1}$  de pik verdiği görülmektedir. Poli(MPAEMA-ko-MMA) kopolimerinin FT-IR spektrumu Şekil 13'de gösterilmiştir. Poli(MPAEMA-ko-MMA) kopolimerinin  $^1\text{H-NMR}$  spektrumunda N-H yapısının 9,9 ppm'de, halka protonlarının 7,5 ve 6,8 ppm'de, O-CH<sub>2</sub> protonlarının 4,6 ppm'de, O-CH<sub>3</sub> protonunun 3,6 ppm'de, C-CH<sub>3</sub> protonunun 1,1 ppm'de pik verdiği görülmüştür. Poli(MPAEMA-ko-MMA) kopolimerinin  $^{13}\text{C-NMR}$  spektrumu incelendiğinde; yapısındaki C=O amit karbonunun 177 ppm'de, C=O ester karbonunun 165 ppm'de, halka karbonlarının 156, 132, 121, 114 ppm'de, O=C-CH<sub>2</sub>-O yapısının 55 ppm'de, O-CH<sub>3</sub> yapısının 45 ppm'de, C-CH<sub>3</sub> yapısının ise 25 ppm'de pik verdiği görülmüştür. Poli(MPAEMA-ko-MMA) kopolimerinin  $^1\text{H-NMR}$  spektrumu Şekil 14'de ve  $^{13}\text{C-NMR}$  spektrumu Şekil 15'de gösterilmiştir.

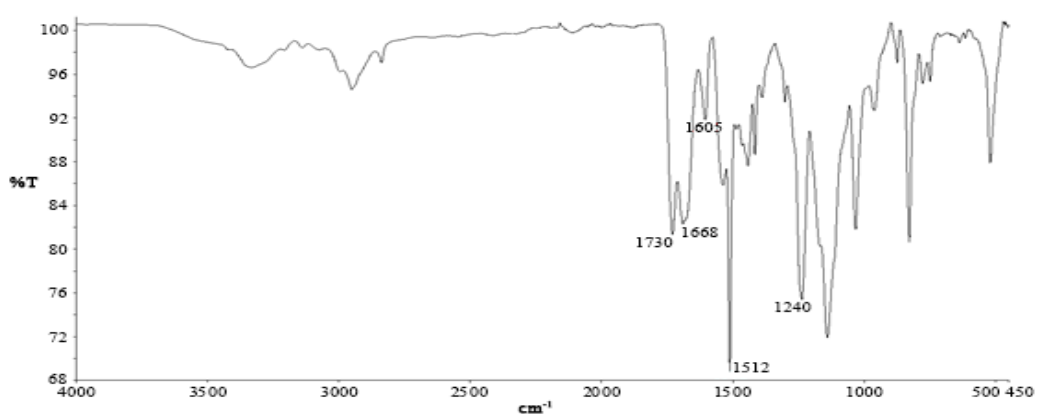
#### 3.3.2. Poli(MPAEMA-ko-MMA) kopolimerinin termal analiz sonuçları

(Thermal analysis results of poly (MPAEMA-co-MMA) copolymer)

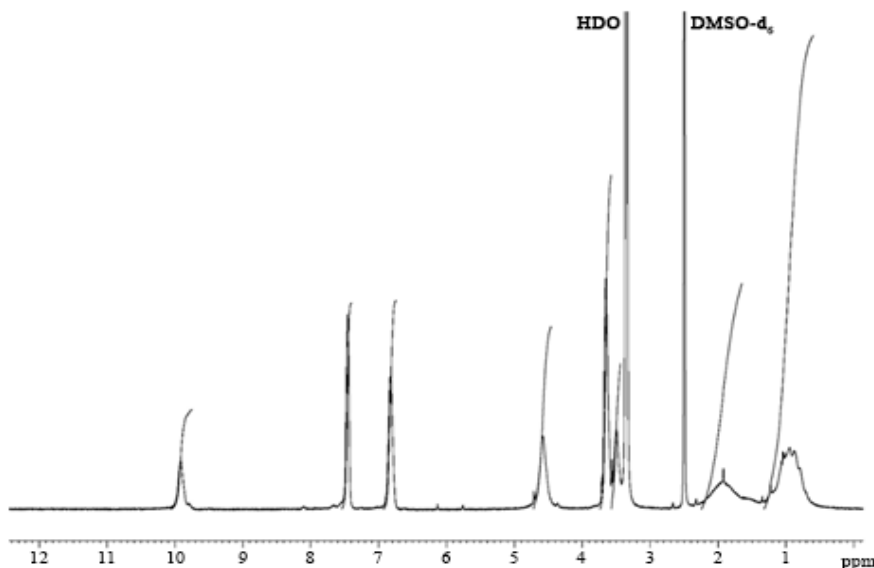
Poli(MPAEMA-ko-MMA) kopolimerinin TGA ölçümleri homopolimerde olduğu gibi yapılarak, 500°C sıcaklığı



Şekil 12. Poli(MPAEMA) homopolimerinin GPC eğrileri (The GPC curves of poly(MPAEMA) homopolymer)



Şekil 13. Poli(MPAEMA-ko-MMA) kopolimerinin FT-IR spektrumu



**Şekil 14.** Poli(MPAEMA-ko-MMA) kopolimerinin  $^1\text{H}$ -NMR spekturumu  
(The  $^1\text{H}$ -NMR spectra of the poly (MPAEMA-co-MMA) copolymer)

çıkılarak elde edilmiş ve termogramdan bozunmanın iki kademedede gerçekleştiği gözlemlenmiştir. Poli(MPAEMA-ko-MMA) kopolimerinin TGA eğrisinden elde edilen verilere göre kopolimerin başlangıç bozunma sıcaklığı  $160^\circ\text{C}$ , %50 kütleyi kaybının olduğu sıcaklık  $382^\circ\text{C}$  ve  $500^\circ\text{C}$ 'de bıraktığı atığın %4 olduğu gözlemlenmiştir. Kopolimerin TGA eğrisi Şekil 16'da verilmiştir.

#### 3.4. Düşük Dönüşümlü Poli(MPAEMA-ko-MMA) Kopolimer Serilerinin Karakterizasyonu ve Monomer Reaktivite Oranlarının Hesaplanması (Characterization of Low-conversion Poly (MPAEMA-co-MMA) Copolymer Series and Calculation of Monomer Reactivity Ratios)

Poli(MPAEMA-ko-MMA) kopolimer serilerinin karakterizasyonu FT-IR spektrumuyla yapılmış olup, termal analiz çalışmaları da yapılmıştır. Kopolimer serilerinde monomer reaktivite oranlarının hesaplanması, Elementel Analiz sonuçlarından gelen sonuçlara göre yapılmıştır.

##### 3.4.1. Poli(MPAEMA-ko-MMA) kopolimer serilerinin FT-IR spektrumu (FT-IR Spectrum of Poly (MPAEMA-co-MMA) Copolymer Series)

Poli(MPAEMA-ko-MMA) kopolimer serilerinin FT-IR spektrumları incelendiğinde; MMA miktarının azalmasıyla  $1725\text{ cm}^{-1}$  C=O ester pikinin azaldığı, MPAEMA miktarının artmasıyla  $1168\text{ cm}^{-1}$  C=O amit pikinin arttığı gözlemlenmiştir. Şekil 17'de poli(MPAEMA-ko-MMA) kopolimerlerinin FT-IR spektrumları verilmiştir.

##### 3.4.2. Poli(MPAEMA-ko-MMA) kopolimer serilerinin termal analiz sonuçları (Thermal analysis results of poly (MPAEMA-co-MMA) copolymer series)

Polimer serilerin termal özelliklerini araştırma parametresi kopolimerde ifade edildiği gibi yapılmıştır. TGA sonuçları,

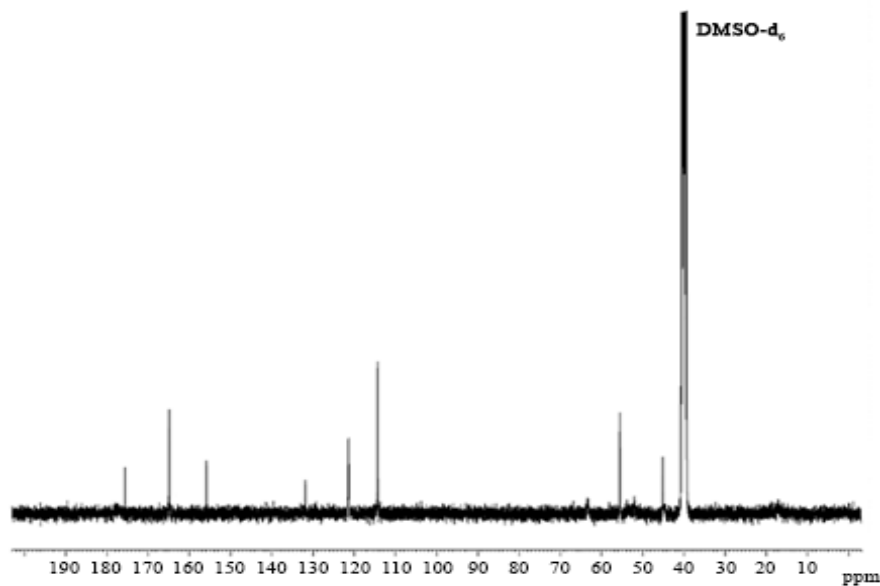
kopolimerlerin kararlılığının kopolimerdeki bileşimlere bağlı olduğunu göstermektedir. Poli(MPAEMA-ko-MMA) serilerinin termogramlarında, bozunma sıcaklığının  $163^\circ\text{C}$ 'de başlayıp,  $223^\circ\text{C}$ 'de son bulduğu görülmekte ve bozunmanın iki kademedede gerçekleştiği gözlemlenmektedir. Birinci bozunma basamağının zayıf bağların kopması ve düşük molekül ağırlıklı kısımların buharlaşmasından kaynaklandığı; yüksek sıcaklıkta meydana gelen ikinci bozunmanın ise ana zincirdeki fonksiyonel grupların parçalanmasından kaynaklandığı düşünülmektedir. Ayrıca, kopolimerdeki MMA bileşimi arttıkça termal kararlılığın da arttığı görülmektedir [25]. Sonuçlar Şekil 18 ve Tablo 1'de verilmiştir.

#### 3.4.3. Poli(MPAEMA-ko-MMA) kopolimer serilerinde monomer reaktivite oranlarının hesaplanması (Calculation of monomer reactivity ratios in poly (MPAEMA-co-MMA) copolymer series)

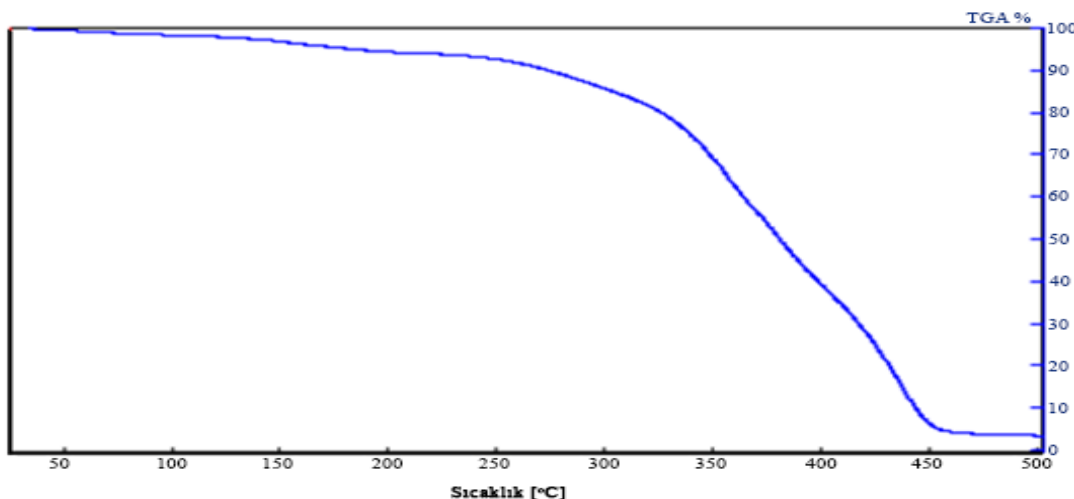
MPAEMA ile MMA'ın çeşitli oranlarda hazırlanmış farklı bileşimlerdeki kopolimer örnekleri, elementel analiz sonuçları, monomerlerin kopolimer bileşimleri ve monomer besleme oranları Tablo 2'de verilmiştir. Elementel analiz sonuçlarına göre monomerlerin bileşim oranları ve %mol kesirleri hesaplanmış ve Tablo 3'deki değerler Kelen Tüdos (KT) ve Fineman Ross (FR) parametreleri için kullanılmıştır.

##### 3.4.3.1. Reaktivite oranlarının kelen tüdos (KT) yöntemi ile bulunması (Determination of reactivity ratios by kelen tüdos (KT) method)

Tablo 3'de verilen  $\eta$  ve  $\xi$  değerleri Şekil 19'daki gibi grafiğe geçirilerek doğru denklemi alınmıştır.  $\eta=(r_1+r_2/\alpha)\times\xi-r_2/\alpha$  KT eşitliğinden; doğrunun eğimi  $r_1+r_2/\alpha$ 'ya, kayma ise  $-r_2/\alpha$ 'ya eşit olduğundan,  $r_1=0,521$ ,  $r_2=1,183$  ve  $r_1 \cdot r_2=0,6163$  olarak bulunmuştur [ $r_1$ :  $r_{\text{MPAEMA}}$  ve  $r_2$ :  $r_{\text{MMA}}$ ].



**Şekil 15.** Poli(MPAEMA-ko-MMA) kopolimerinin  $^{13}\text{C}$ -NMR spektrumu  
(The  $^{13}\text{C}$ -NMR spectra of the poly (MPAEMA-co-MMA) copolymer)



**Şekil 16.** Poli(MPAEMA-ko-MMA) kopolimerinin TGA eğrisi (The TGA curve of the poly(MPAEMA-co-MMA) copolymer)

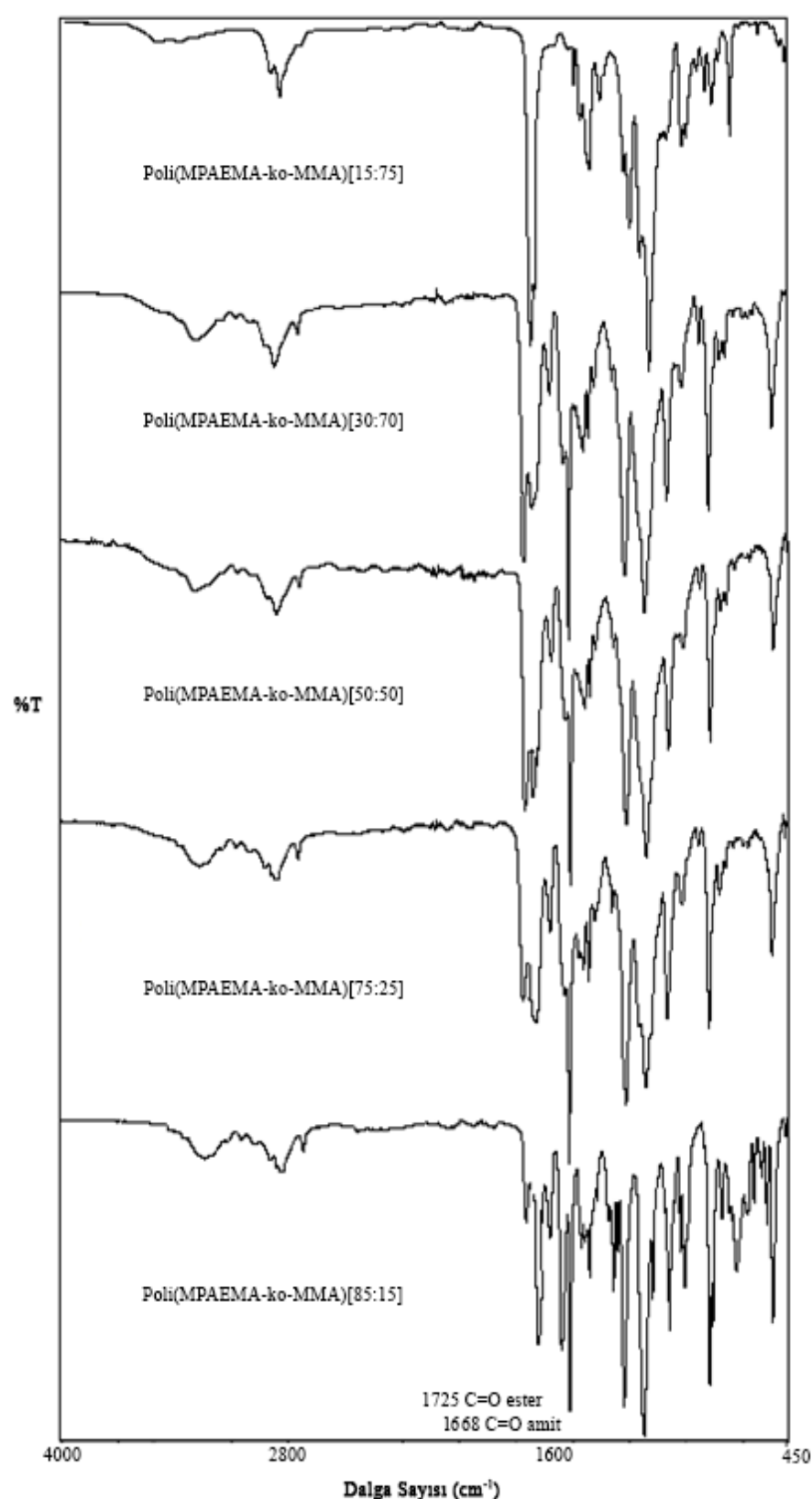
#### 3.4.3.2. Reaktivite oranlarının fineman ross (FR) yöntemi ile bulunması (determination of reactivity ratios by fineman ross (FR) method)

Tablo 3'de verilen H ve G değerleri Şekil 20'de görüldüğü gibi grafiğe geçirilerek doğru denklemi alınmış ve  $G=r_1H - r_2$  ve FR eşitliğinden;  $r_1=0,515$ ,  $r_2=1,193$  ve  $r_1.r_2=0,6144$  olarak bulunmuştur.

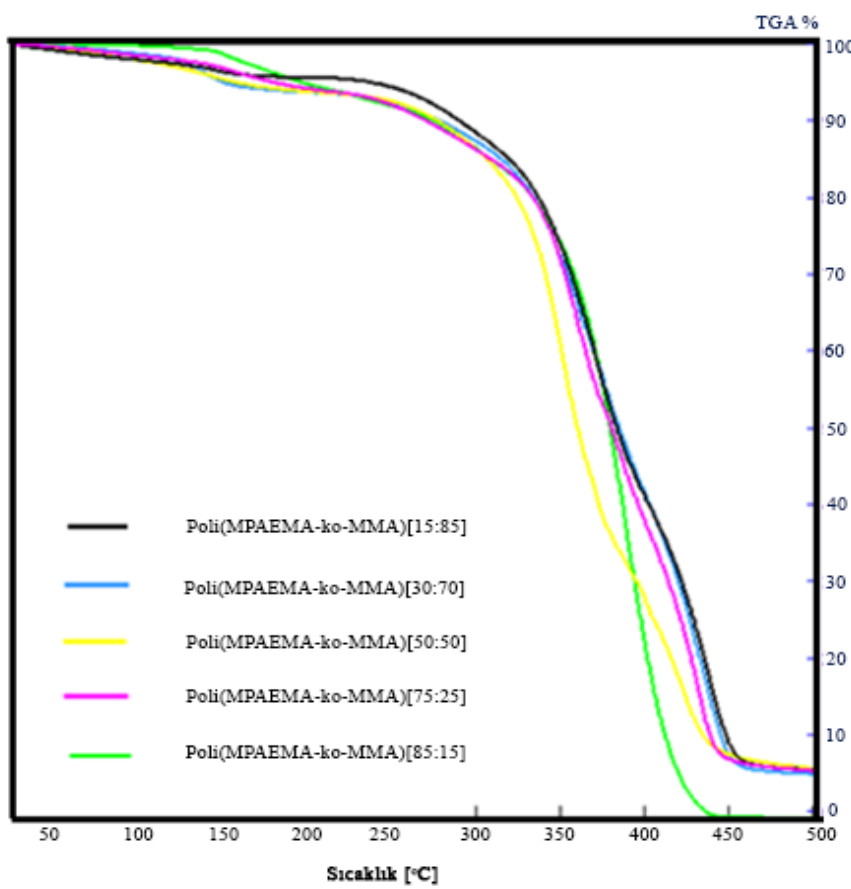
#### 3.4.3.3. Reaktivite oranlarının RREVM metodu ile bulunması (Determination of reactivity ratios by RREVM method)

RREVM (Reaktivite Oranlarında Değişkenlerdeki Hata Metodu) Metodu, reaktivite oranlarını hesaplamada, hatayı en aza indirmek amacıyla bilgisayar yazılım programıyla

yapılmaktadır. Başlangıç monomer bileşimlerinin verileri girilerek hesaplanan RREVM metodu, güvenirliliği oldukça yüksek olan bir programdır. Şekil 21'de program çıktısı verilmektedir. Program çıktısından elde edilen sonuçlar,  $r_{\text{MPAEMA}} = 0,510$ ,  $r_{\text{MMA}} = 1,188$  ve  $r_1.r_2=0,6059$  olarak bulunmuştur. Monomer reaktivite oranları hesaplamaları için kullanılan 3 yöntemden elde edilen sonuçların birbirine yakın olduğu görülmüş ve kıyaslamalı olarak Tablo 4'de verilmiştir.  $r_{\text{MPAEMA}} < 1$ ,  $r_{\text{MMA}} > 1$  ve  $r_1.r_2 \approx 0,61$  olmasından dolayı, MMA'nın MPAEMA monomerine göre reaksiyona girmeyi isteyenin daha fazla olduğu görülmektedir. Ayrıca,  $r_1.r_2$  değeri sıfıra yaklaştıkça ardisık (alternatif) kopolimer, bire yaklaştıkça ideal kopolimer davranış sergilediği bilgisi düşünüldüğünde, elde edilen MPAEMA/MMA kopolimer sisteminin *ideal kopolimer* davranış gösterdiği sonucuna varılmıştır [18, 19], [20, 21].



**Şekil 17.** Poli(MPAEMA-ko-MMA) kopolimerler serilerinin FT-IR spektrumu  
(The FT-IR spectrum of the poly(MPAEMA-co-MMA) copolymers series)



**Şekil 18.** Poli(MPAEMA-ko-MMA) kopolimer serilerinin TGA eğrileri  
(TGA curves of poly (MPAEMA-co-MMA) copolymer series)

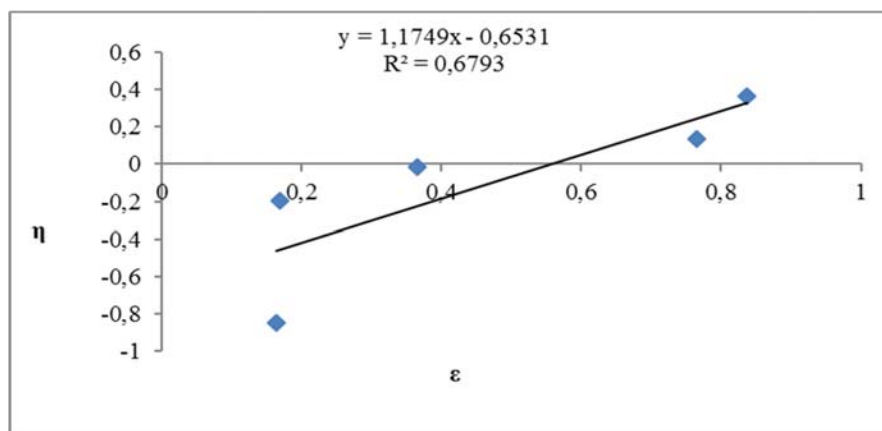
**Tablo 1.** Poli(MPAEMA-ko-MMA) kopolimerleri için TGA sonuçları (TGA results for poly (MPAEMA-co-MMA) copolymers)

Kopolimer Serileri	Bozunmanın Başıldığı Sıcaklık (°C)	%50 Kütle Kaybının Olduğu Sıcaklık (°C)	500°C'deki %Artık
Poli(MPAEMA-ko-MMA)[15:85]	223	384	7,7
Poli(MPAEMA-ko-MMA)[30:70]	203	386	7,3
Poli(MPAEMA-ko-MMA)[50:50]	202	361	8,8
Poli(MPAEMA-ko-MMA)[75:25]	200	381	8,1
Poli(MPAEMA-ko-MMA)[85:15]	163	380	0

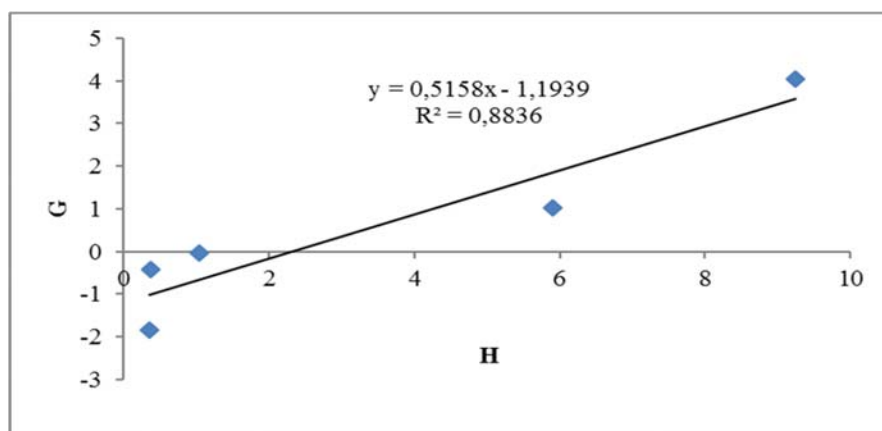
**Tablo 2.** MPAEMA-ko-MMA kopolimer serilerinin elementel analiz sonuçları ve monomer serilerinin başlangıç ve kopolimerdeki bileşimleri

(Elemental analysis results of MPAEMA-co-MMA copolymer series and the starting and copolymer compounds of the monomer series)

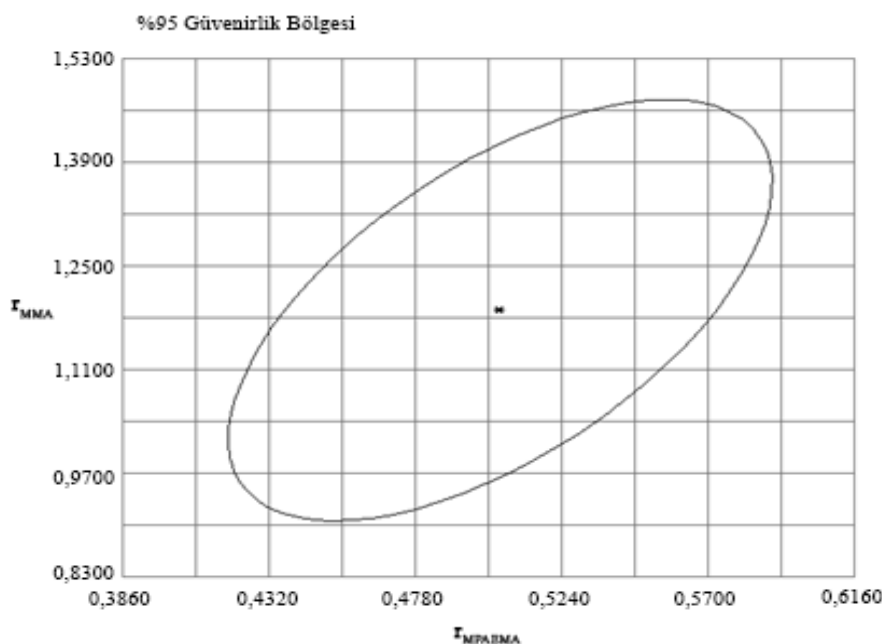
Örnek No	Başlangıç Monomer Bileşimleri			Kopolimer Bileşimleri (%)	
	M <sub>MPAEMA</sub>	M <sub>MMA</sub>	Elementel Analiz değeri (%) N	m <sub>MPAEMA</sub>	m <sub>MMA</sub>
1	0,15	0,85	1,01	0,0807	0,9193
2	0,30	0,70	3,11	0,3320	0,6680
3	0,50	0,50	3,96	0,4889	0,5111
4	0,75	0,25	4,45	0,6039	0,3961
5	0,85	0,15	5,04	0,7765	0,2235



Şekil 19. KT yöntemi için  $\eta$ - $\xi$  grafiği ( $\eta$ - $\xi$  graph for the KT method)



Şekil 20. FR yöntemini için G-H grafiği (G-H graph for FR method)



Şekil 21. RREVM metodu ile hesaplanan  $r_1$  ve  $r_2$  değerleri için %95 güvenirlik bölgesi  
(95% confidence region of  $r_1$  and  $r_2$  values calculated by RREVM method)

**Tablo 3.** MPAEMA-ko-MMA kopolimer sistemi için KT ve FR parametreleri  
(KT and FR parameters for the MPAEMA-co-MMA copolymer system)

Kopolimer	$F=M_1/M_2$	$f=m_1/m_2$	$G=F(f-1)/f$	$H=F^2/f$	$\eta=G/\alpha+H$	$\xi=H/\alpha+H$
1	0,1765	0,0878	-1,8338	0,3548	-0,8467	0,1638
2	0,4286	0,4970	-0,4338	0,3696	-0,1989	0,1695
3	1	0,9566	-0,0454	1,0454	-0,0159	0,3660
4	3	1,5246	1,0323	5,9032	0,1338	0,7652
5	5,6667	3,4743	4,0357	9,2426	0,3651	0,8362

**Tablo 4.** MPAEMA-ko-MMA kopolimer sistemi için monomer reaktivite oranları  
(The monomer reactivity ratios for MPAEMA-co-MMA copolymer system)

Yöntem	$r_{MPAEMA}$	$r_{MMA}$	$r_1.r_2$
KT	0,521	1,183	0,616
FR	0,515	1,193	0,614
RREVM	0,510	1,188	0,606

$r_1$ :  $r_{MPAEMA}$  ve  $r_2$ :  $r_{MMA}$

## 5. SİMGELER (SYMBOLS)

- $T_g$  : Camsı geçiş sıcaklığı  
 $T_k$  : Kristalleme sıcaklığı  
 $r_1$  :  $r_{MPAEMA}$   
 $r_2$  :  $r_{MMA}$   
 MPAEMA: 2-(4-metoksifenilamino)-2-oxoetil metakrilat  
 KT : Kelen Tüdos  
 FR : Fineman Ross

## 4. SONUÇLAR (CONCLUSIONS)

Bu çalışmada ilk olarak 2-(4-metoksifenilamino)-2-oxoetil metakrilat (MPAEMA) monomeri, 2-klor-N-(4-metoksifenil)asetamit ile sodyum metakrilattan başarılı bir şekilde sentezlendi. MPAEMA monomerinin orijinal olarak homopolimeri ve metil metakrilat ile kopolimerleri serbest radikalik polimerizasyon yöntemiyle hazırlandı. Monomerin yapısı FT-IR,  $^1H$ -NMR ve  $^{13}C$ -NMR spektroskopik teknikleri ile Poli(MPAEMA) homopolimerinin yapısı FT-IR,  $^1H$ -NMR ve  $^{13}C$ -NMR spektroskopisi, jel geçirgenlik kromatografisi (GPC) ve TGA/DTA termal analiz yöntemleriyle; Poli(MPAEMA-ko-MMA) kopolimerinin yapısı ise FT-IR,  $^1H$ -NMR ve  $^{13}C$ -NMR spektroskopik teknikleri ve TGA termal analiz yöntemiyle karakterize edildi. Polimerlerin termal özelliklerini belirlemek amacıyla TGA analizleri yapıldığında, başka bir akrilik türevi (metil metakrilat) ilavesiyle polimerlerin termal kararlılığında artış olduğu görüldü. Reaktivite oranlarını bulmak amacıyla yaklaşık %15 dönüşümle sentezlenen Poli(MPAEMA-ko-MMA) kopolimer serileri FT-IR ve TGA ile karakterize edildi. Kopolimer serilerinde metil metakrilat miktarının artmasıyla termal kararlılığın arttığı gözlemlendi. Elementel Analiz sonuçlarına göre azot miktarından belirlenen reaktivite oranları  $r_{MPAEMA}$  ve  $r_{MMA}$ ; lineer yöntem olan Kelen Tüdos (KT) ve Fineman Ross (FR) ile ve lineer olmayan

yöntem RREVM metodu ile hesaplandı.  $r_{MPAEMA}<1$ ,  $r_{MMA}>1$  ve  $r_1.r_2 \approx 0,61$  olduğundan, elde edilen kopolimerin *ideal kopolimer* davranış gösterdiği bulundu.

## TEŞEKKÜR (ACKNOWLEDGEMENT)

Bu çalışmanın yürütülmesinde 2014/TP06 nolu proje ile mali destek sağlayan Uşak Üniversitesi Bilimsel Araştırma Proje Birimine teşekkür ederiz.

## KAYNAKLAR (REFERENCES)

- İsmail O., ve Kuyulu, A., Akrilik asit esaslı süper absorban kopolimerlerin sentezi ve bahçe bitkilerine uygulanması, Yıldız Teknik Üniversitesi Dergisi, 3, 33-40, 2003.
- Zengin H.B., Basan S., Ekberov O.H., Maleik Anhidrit-Stiren Kopolimerinin Amid ve İmid Türevlerinin Sentezi ve İsisal Davranışları, Cumhuriyet Üniversitesi Fen-Edebiyat Fakültesi Fen Bilimleri Dergisi, 26 (2), 1-21, 2005.
- Nie L., Narayan R., Grafting cellulose acetate with styrene maleic anhydride random copolymers for improved dimensional stability of cellulose acetate, Journal of Applied Polymer Science, 54, 601-607, 1994.
- Barım G., Coşkun M., (2,3-Difenil-1,3-oksazolidin-5-il) metil metakrilat'ın metil metakrilat ile kopolimerlerinin sentezi, karakterizasyonu ve termal özellikleri, Adiyaman Üniversitesi, Fen Bilimleri Dergisi, 2 (2), 75-85, 2012.
- Soykan C., İlter Z., Alkil metakrilatların glisidilmetakrilat ile kopolimerlerinin sentezi ve karakterizasyonu, Erciyes Üniversitesi Fen Bilimleri Enstitüsü Dergisi, 17 (1-2), 103-110, 2001.
- Nicholson J.W., Brookman P.J., Lacy O. M., Sayers G.S., Wilson A.D., A study of the nature and formation of zinc polyacrylate cement using Fourier transform infrared spectroscopy, Journal of Biomedical Materials Research, 22, 623-631, 1988.
- Parker S., Braden M., Water absorption of methacrylate soft lining materials, Biomaterials, 10, 91-95, 1989.
- Patel J.N., Dolia M.B., Patel K.H., Patel R.M., Homopolymer of 4-chloro-3-methyl Phenyl Methacrylate and its Copolymers with Butyl Methacrylate: Synthesis, Characterization, Reactivity Ratios and Antimicrobial Activity, Journal of Polymer Research, 13, 219-228, 2006.

9. Açıkbaş Y., Çankaya N., Capan R., Erdogan M., Soykan C., Swelling behavior of the 2-(4-methoxyphenylamino)-2-oxoethyl methacrylate monomer LB thin film exposed to various organic vapors by quartz crystal microbalance technique, *Journal of Macromolecular Science, Part A: Pure and Applied Chemistry*, 53 (1), 18–25, 2016.
10. Hemalatha P., Veeraiah M.K., Kumar S. P., Madegowda N.M., American M. M., Reactivity ratios of n-vinylpyrrolidone-acrylic acid copolymer, *Journal of Polymer Science*, 4 (1), 16-23, 2014.
11. Mark H.F., Bikales N.M., Overberger C.G., Menges G., *Encyclopedia of Polymer Science and Engineering*, Wiley Interscience, New York, 1986.
12. Rajdeo K.S., Ponrathnam S., Pardeshi S., Chavan N.N., Bhongale S.S., Harikrishna R., Ambient Temperature Photocopolymerization of Tetrahydrofurfuryl Methacrylate and Isobornyl Methacrylate: Reactivity Ratios and Thermal Studies, *Journal of Macromolecular Science, Part A: Pure and Applied Chemistry*, 52, 982-991, 2015.
13. Çankaya N., Aril gruplu metakrilat monomerinin atom transfer radikal polimerizasyonu, Türkiye Alim Kitapları, morebooks publishing, Lambert Academic Publishing, Saarbrücken-Germany, 2015.
14. Çankaya N., Demirelli, K., Atom transfer radical copolymerization of phenoxy carbonylmethyl methacrylate with methylmethacrylate: their monomer reactivity ratios and thermal stabilities, *Journal of the Chemical Society of Pakistan*, 33 (6), 884, 2011.
15. Esen H., Synthesis and characterization of linear dendritic homo and copolymers acrylated behera amine, *Designed Monomers and Polymers*, 18 (8), 745-752, 2015.
16. Tudos F., Kelen T., Turcsanyi B., Kennedy J.P., Analysis of the linear methods for determining copolymerization reactivity ratios. VI. A comprehensive critical reexamination of oxonium ion copolymerizations, *J. Polym. Sci. Polym. Chem. Ed.* 19, 1119–1132, 1981.
17. Çankaya N., Temüz M.M., Characterization and Monomer Ratios of Grafted Cellulose with N-(4-nitrophenyl) acrylamide and Methyl Methacrylate by Atom Transfer Radical Polymerization, *Cellulose Chemistry and Technology*, 46 (9-10), 551-558, 2012.
18. Çankaya N., Temüz M.M., Monomer Reactivity Ratios of Grafted Cellulose with N-cyclohexylacrylamide and Methyl Methacrylate by Atom Transfer Radical Polymerization, *Cellulose Chemistry and Technology*, 48 (3-4), 209-215, 2014.
19. Erol I., Kolu S., Copolymers of a new methacrylate monomer bearing oxime ester and ether with methyl methacrylate: synthesis, characterization, monomer reactivity ratios, and biological activity, *Journal of Applied Polymer Science.*, 120, 279–290, 2011.
20. İlter Z., Soykan C., Solmaz A., Copolymers of 7-Methoxy-2-Acetyl Benzofuryl Methylmethacrylate With Styrene: Synthesis, Characterization, Reactivity Ratios and Determination of Kinetic Parameters With Thermogravimetric Analysis, *Journal of Macromolecular Science, Part A: Pure and Applied Chemistry*, 52, 175–185, 2015.
21. Nanjundan S., et al., Homopolymer of 4-benzoylphenyl Methacrylate and its Copolymers with Glycidyl Methacrylate: Synthesis, Characterization, Monomer Reactivity Ratios and Application as Adhesives, *React. and Func. Polym.* 62, 11-24, 2005.
22. Soykan C., Delibas A., Coskun R., Novel copolymers of 4-chloronaphthyl methacrylate with acrylonitrile: determination of monomer reactivity ratios and antimicrobial activity, *Journal of Macromolecular Science, Part A: Pure and Applied Chemistry*, 46, 250-267, 2009.
23. Soykan C., Yakuphanoglu F., Sahin M. Synthesis, Antimicrobial Activity and Semi-conducting Properties of Novel 2-(4-Chloro-1-Naphthoxy)-2-Oxoethyl Methacrylate with 2-(Diethylamino)Ethyl Methacrylate Copolymers, *Journal of Macromolecular Science, Part A: Pure and Applied Chemistry*, 50, 953–965, 2013.
24. Kaştan A., Yalçın Y., Ünal H., Talaş Ş., Investigation on thermal properties of nanoclay added polyamide 6 / high density polyethylene (HDPE) composites, *Journal of the Faculty of Engineering and Architecture of Gazi University* 32 (1) 89-99, 2017.
25. Orman F., Altinten A., Temperature controlled synthesis of polystyrene/clay nanocomposites and their characterizations, *Journal of the Faculty of Engineering and Architecture of Gazi University*, 32 (2), 303-312, 2017.